

Fig 50

FIGURA 50

Ontogenía de Proteínas Ligantes de Calcio durante el desarrollo hipofisario en Aves.

a,b,c.- Secciones sagitales de la hipófisis en el estadio E.8 en las que se muestra un doble marcaje a.- CBD28K/ACTH (HRP DAB/HRP CI-Naftol 160x); b.- CR/ACTH (HRP DAB/HRP CI-Naftol 160x); c.- PV/ACTH (HRP DAB/HRP CI-Naftol 160x). Obsérvese la distribución en la zona medio-caudal del lóbulo anterior de cada una de las tres proteínas. Obsérvese asimismo como la mayoría de las células CBD28K-ir, (➤) CR-ir (➤) y PV-ir (➤) respectivamente no están doblemente marcadas.

d,e,f.- Secciones sagitales de la hipófisis en el estadio E.14 en las que se muestra la distribución de CBD28K, CR y PV respectivamente en los lóbulos anterior y tuberal de la adenohipófisis (HRP-DAB-Niquel 180x).

LA: Lóbulo anterior.

LP: Lóbulo posterior.

LT: Lóbulo tuberal.

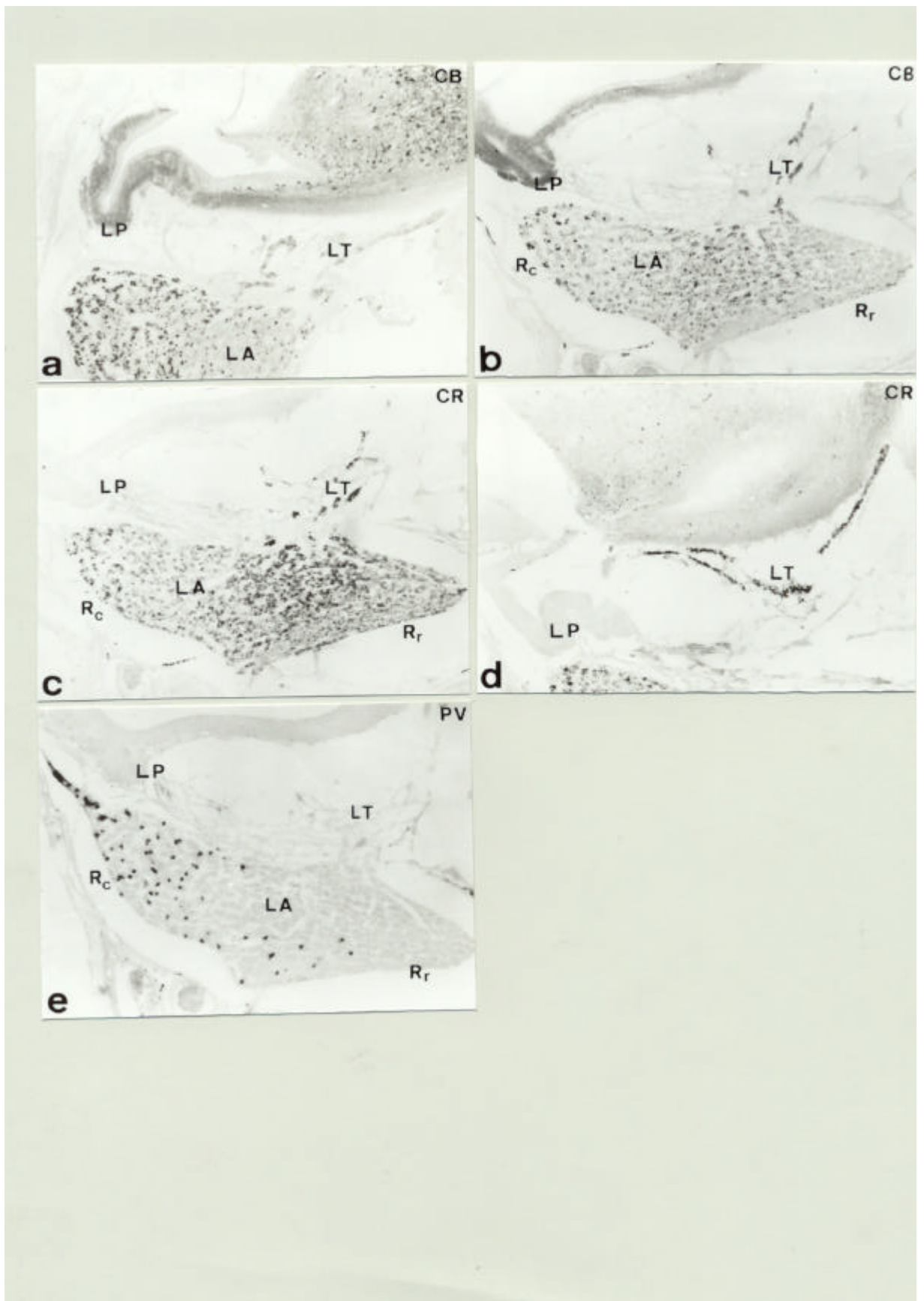


Fig 51

FIGURA 51

Ontogenia de Proteínas Ligantes de Calcio durante el desarrollo hipofisario en Aves.

a.- Sección sagital de la hipófisis en el estadio E.14, que muestra la presencia de inmunorreacción para CBD28K en la eminencia media y el lóbulo posterior de la neurohipófisis (HRP/DAB-Niquel 180x).

b.- Sección sagital de la hipófisis de un posnatal en el estadio P.10 que muestra la distribución de CBD28K en la hipófisis (HRP/DAB-Niquel 180x).

c.- Sección sagital de la hipófisis de un posnatal en el estadio P.10 que muestra la distribución de CR en la hipófisis (HRP/DAB-Niquel 180x).

d.- Sección sagital de un posnatal en el estadio P.10 correspondiente a un nivel más lateral que muestra la intensa inmunorreacción para CR en todas las células del lóbulo tuberal (HRP/DAB-Niquel 180x).

e.- Sección sagital de la hipófisis de un posnatal en el estadio P.10 que muestra la distribución de PV en la hipófisis (HRP/DAB-Niquel 180x).

LA: Lóbulo anterior.

LP: Lóbulo posterior.

LT: Lóbulo tuberal.